

## บทที่ 2

### ทฤษฎีพื้นฐานของพลาสมา

พลาสมา (plasma) เป็นคำที่มาจากภาษากรีก (Greek) ซึ่งหมายถึงเบ้าหลอมหรือแม่พิมพ์ (mold) หรือทอเป็นเนื้อขึ้นมา (fabricate) ในเชิงฟิสิกส์พลาสมาคือสภาวะหนึ่งของสสารนอกเหนือจากสถานะของ ของแข็ง ของเหลว และก๊าซ สถานะต่าง ๆ เหล่านี้ถูกนิยามด้วยขนาดของแรงยึดเหนี่ยวระหว่างโมเลกุล (binding force) หรืออะตอมของสสาร ค่าแรงยึดเหนี่ยวในของแข็งจะมีมากแต่เมื่อได้รับการกระตุ้นจากพลังงานภายนอกของแข็งก็สามารถเปลี่ยนสถานะเป็นของเหลวหรือก๊าซและขณะเดียวกันถ้าของเหลวถูกกระตุ้นจากพลังงานภายนอกก็สามารถเปลี่ยนสถานะเป็นก๊าซได้ และเมื่อก๊าซถูกกระตุ้นจากพลังงานภายนอกจนทำให้เกิดการแตกตัว (ionization) ก๊าซก็อาจจะเปลี่ยนสถานะเป็นพลาสมาได้

คุณลักษณะของพลาสมา คือการมีสถานะของก๊าซที่มีอนุภาคที่มีประจุเชิงสะท้อน (quasineutral gas of charge) ที่มีพฤติกรรมร่วมกัน (collective behavior) [Chen, 1984 ; Bittencourt, 1995] เมื่อพิจารณาพลาสมาในระดับมหภาค (macro) เราจะเห็นว่ามีความผันแปรระหว่างอนุภาคที่มีประจุและผลจากการที่ประจุเคลื่อนที่ทำให้เกิดกระแสไฟฟ้า ซึ่งเหนี่ยวนำให้เกิดสนามแม่เหล็ก ดังนั้นการเคลื่อนที่ของพลาสมาไม่ได้ขึ้นอยู่กับกระบวนการชนกันระหว่างอนุภาคหรือปฏิกิริยาระหว่างอนุภาคภายในพลาสมาแต่อย่างใด แต่ยังขึ้นอยู่กับผลของแรงที่เกิดจากสนามไฟฟ้าที่อยู่ไกลออกไปกับกลุ่มของพลาสมาอีกด้วย ซึ่งเป็นคุณลักษณะของการมีพฤติกรรมร่วม เราจึงมองได้ว่าพลาสมามีลักษณะคล้ายก้อนเจลลีนุ่มที่สามารถเคลื่อนไหวเปลี่ยนรูปร่างได้แต่ยังรวมตัวกันอยู่เป็นกลุ่มก้อน

#### 2.1 นิยามของพลาสมา

เนื่องจากพลาสมาเป็นอนุภาคเชิงสะท้อนและมีพฤติกรรมร่วม การแตกตัวของอะตอมหรือโมเลกุลที่อยู่ในสถานะของก๊าซจนเกิดอนุภาคที่มีประจุหรือไอออนนั้น จึงไม่จำเป็นเสมอไปว่าก๊าซที่อยู่สภาวะแตกตัวดังกล่าวจะประพฤติตัวเป็นแบบพลาสมาถ้าขบวนการแตกตัวนั้นไม่ได้อยู่ในเงื่อนไขต่อไปนี้

- (i) ความยาวเดอบาย (Debye's length) มีค่าน้อยกว่าความยาวของระบบมาก ๆ

$$\lambda_D \ll L \quad (2.1)$$

โดยที่  $\lambda_D$  คือความยาวของเดอบาย  
และ  $L$  คือความกว้างของพลาสมา

- (ii) จำนวนอนุภาคที่อยู่ในทรงกลมของเดอบาย (Debye's sphere) มีค่ามากกว่า 1 มาก ๆ

$$N_D \gg 1 \quad (2.2)$$

โดยที่  $N_D$  คือจำนวนอนุภาคที่อยู่ในทรงกลมของเดอบาย

- (iii) จำนวนความถี่ของการชนอิสระระหว่างอนุภาคกับอนุภาคในหนึ่งหน่วยเวลามีค่ามากกว่า 1 มาก ๆ

$$\omega_p \tau \gg 1 \quad (2.3)$$

โดยที่  $\omega_p$  คือความถี่ของการสั่นของพลาสมา  
และ  $\tau$  คือเวลาเฉลี่ยระหว่างการชนกันของอะตอมหรืออนุภาคอิสระ

ความสัมพันธ์ดังสมการที่ (2.1) นี้เองที่ทำให้พลาสมามีการแสดงพฤติกรรมของการมีพฤติกรรมร่วม เรานิยมใช้อุณหภูมิของพลาสมาในหน่วยของ อิเล็กตรอนโวลต์ (eV) เมื่อให้  $K$  เป็นค่าคงที่โบริตมานน์ (Boltzmann's constant) และ  $T$  คืออุณหภูมิองศาสสมบูรณ์ (Kelvin's temperature) เราจะได้ว่า

$$KT = 1 \text{ eV} \quad (2.4)$$

เมื่อ  $K = 1.38 \times 10^{-23} \text{ J/}^\circ\text{K} \quad (2.5)$

และ  $T = 11,600 \text{ }^\circ\text{K} \quad (2.6)$

นั่นคืออุณหภูมิของพลาสมา 1 eV จะมีค่าตรงกับอุณหภูมิ 11,600 °K หรือประมาณ 11,327 °C

## 2.2 Debye shielding

ในสนามที่มีอิเล็กตรอนและไอออนเคลื่อนที่ไปมา มีอันตรกิริยาเกิดขึ้นกับตัวอนุภาคเอง และกับอนุภาคตัวอื่น ๆ ไปพร้อมกันด้วย ซึ่งเมื่อพิจารณาในเชิงมหภาคแล้ว ค่าสมการผลรวมของ

แรงที่เกิดจากการเคลื่อนที่ของอิเล็กตรอนในสนามไอออน (ในพลาสมา) เราสามารถเขียนสมการแสดงความสัมพันธ์ระหว่างสนามไฟฟ้า  $\vec{E}$  และค่าความดันสเกลาร์ (scalar pressure) ของอิเล็กตรอน  $p_e$  โดยพิจารณาจากค่าเฉลี่ยของแรงเมื่อถือว่าโมเมนตัมมีค่าคงที่ได้ดังนี้ [Lieberman and Lichtenberg, 1994]

$$m_e n_e \frac{d\vec{u}_e}{dt} = -en_e \vec{E} - \nabla p_e - m_e n_e v_{m_e} \vec{u}_e \quad (2.7)$$

เมื่อ	$m_e$	คือมวลของอิเล็กตรอน
	$n_e$	คือความหนาแน่นของอิเล็กตรอน
	$\vec{u}_e$	คือความเร็วเฉลี่ยของอิเล็กตรอน
	$v_{m_e}$	คือค่าความถี่ของการถ่ายเทโมเมนตัมขณะที่ยูนิฟายกัน

จากกฎการแจกแจงแบบแมกซ์เวลล์เกียน (Maxwellian's distribution) เราจะได้ความสัมพันธ์ของความดันสเกลาร์กับความหนาแน่นของอิเล็กตรอน (electron density,  $n_e$ ) ในกระจายแบบไอโซเทอร์มัล (isothermal)

$$p_e = n_e K T_e \quad (2.8)$$

และจะได้

$$\nabla p_e = K T_e \nabla n_e \quad (2.9)$$

$T_e$  คืออุณหภูมิของอิเล็กตรอน เมื่อพิจารณาที่เวลาเริ่มต้น  $t=0$  เราถือว่าอิเล็กตรอนมีความเร็วเฉลี่ย  $\vec{u}_e=0$  และ  $d\vec{u}_e/dt=0$  สมการที่ (2.7) เขียนได้เป็น

$$0 = -en_e \vec{E} - K T_e \nabla n_e \quad (2.10)$$

จากสมการของแมกซ์เวลล์ (Maxwell's equation)

$$\nabla \times \vec{E} = -\mu_0 \frac{\partial \vec{H}}{\partial t} \quad (2.11)$$

ในสนามพลาสมาค่าของการเปลี่ยนแปลงของสนามแม่เหล็กมีค่าน้อยมากจนสามารถประมาณได้ว่า  $\partial \vec{H} / \partial t \approx 0$  สมการที่ (2.11) จึงเขียนได้เป็น

$$\nabla \times \vec{E} \approx 0 \quad (2.12)$$

เนื่องจาก  $\nabla(\nabla \times \vec{E}) = 0$  ดังนั้น

$$\vec{E} = -\nabla\phi \quad (2.13)$$

โดยที่  $\phi$  คือศักย์ไฟฟ้า

สมการที่ (2.10) เขียนได้เป็น

$$0 = en_e \nabla\phi - KT_e \nabla n_e \quad (2.14)$$

หรือเขียนได้เป็น

$$0 = \nabla\phi - \frac{KT_e}{e} \frac{\nabla n_e}{n_e} \quad (2.15)$$

เปลี่ยนรูปสมการ (2.15) เป็น

$$0 = \nabla\left(\phi - \frac{KT_e}{e} \ln n_e\right) \quad (2.16)$$

เมื่ออินทิเกรตสมการที่ (2.16) จะได้

$$C = \phi - \frac{KT_e}{e} \ln n_e \quad (2.17)$$

เมื่อ C เป็นค่าคงที่ใดๆ สมการที่ (2.17) สามารถเขียนได้ใหม่ดังนี้

$$n_e(r) = n_0 \exp\left(\frac{e\phi(r)}{KT_e}\right) \quad (2.18)$$

สมการที่ (2.18) เป็นที่รู้จักกันดีในนามของ Boltzmann's relation จากสมการของแมกซ์เวลล์

$$\nabla \cdot \vec{E} = \frac{\rho}{\epsilon_0} \quad (2.19)$$

โดยที่  $\epsilon_0$  คือค่า permittivity ของสุญญากาศมีค่า  $8.854 \times 10^{-12}$  F/m และจากสมการที่ (2.13) สามารถเขียนสมการที่ (2.19) ได้เป็น

$$\nabla^2 \phi = -\frac{\rho}{\epsilon_0} \quad (2.20)$$

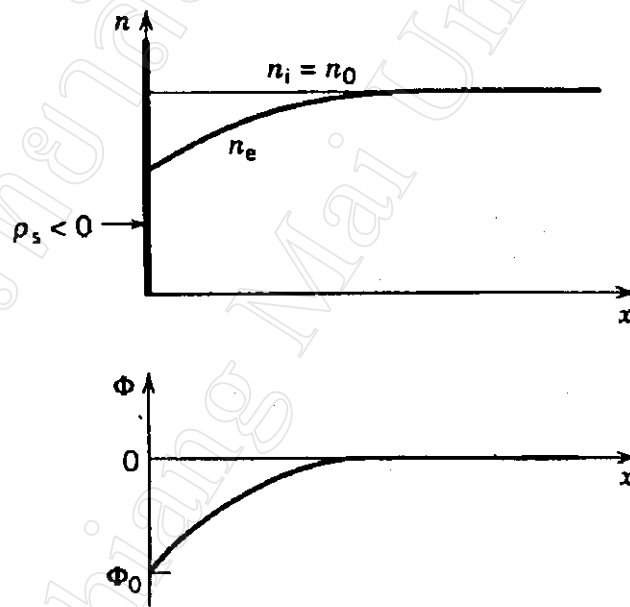
สมการที่ (2.20) ก็คือสมการของพัวว์ซอง (Poisson's equation) ค่าความหนาแน่นของประจุต่อหนึ่งหน่วยพื้นที่ที่ทรงกลมรัศมีหนึ่งหน่วย ( $4\pi$ ) ของอิเล็กตรอน  $\rho_e$  และไอออนบวก ( $Z=1$ )  $\rho_i$  คือ

$$\rho_e = en_e \quad (2.21)$$

และ

$$\rho_i = en_i \quad (2.22)$$

เมื่อพิจารณาถึงการกระจายของอิเล็กตรอน อนุภาคมีประจุ และอะตอมในพลาสมา เราจะพบว่าการกระจายประชากรของอิเล็กตรอนมีลักษณะที่โค้งหรือชันมาก เมื่อเข้าใกล้กับขอบของผิวอิเล็กโทรดซึ่งจะทำให้ค่าความหนาแน่นของประจุที่ขอบผิว (surface charge density,  $\rho_s$ ) มีค่าน้อยกว่าศูนย์  $\rho_s < 0$  และความหนาแน่นของอิเล็กตรอนจะมีค่าเพิ่มขึ้นจนถึงจุด ๆ หนึ่งที่มีการกระจายของอิเล็กตรอนจะมีค่าสมดุลกับการกระจายของอนุภาคมีประจุที่ระยะอนันต์  $n_e = n_i = n_0$  ในช่วงที่ความหนาแน่นของอิเล็กตรอนมีการเปลี่ยนแปลงอย่างรวดเร็วนี้เราเรียกว่าชีท (sheath) ดังแสดงในรูปที่ 2.1



รูปที่ 2.1 แสดงการกระจายของจำนวนอิเล็กตรอนและไอออนในพลาสมา และแสดงค่าการเปลี่ยนแปลงของศักย์ไฟฟ้าในชีทพลาสมา [Lieberman and Lichtenberg, 1994]

จากรูปที่ 2.1 เมื่อเราพิจารณาถึงสมการที่ (2.20) และค่าความหนาแน่นจากสมการที่ (2.21-22) เราสามารถเขียนสมการที่ (2.20) ได้เป็น

$$\nabla^2 \phi = -\frac{e}{\epsilon_0} (n_i - n_e) \quad (2.23)$$

เมื่อเราพิจารณาการกระจายของอิเล็กตรอนเป็นแบบโบริตมานน์ในสมการ (2.18) และประมาณว่า การกระจายของประจุในพลาสมา มีค่า  $n_i = n_0$  เพื่อให้ง่ายต่อการเข้าใจจะขอพิจารณาสมการที่ (2.23) ในหนึ่งมิติตามแนวแกน x

$$\frac{d^2 \phi}{dx^2} = \frac{en_0}{\epsilon_0} \left( \exp\left[\frac{e\phi}{KT_e}\right] - 1 \right) \quad (2.24)$$

ในสนามทุกจุดที่ค่า  $|e\phi/KT_e| \ll 1$  เราสามารถกระจายเทอมที่เป็น exponential ในสมการที่ (2.24) ในรูปของอนุกรมเทเลอร์ (Taylor's series) ได้ดังนี้

$$\exp\left[\frac{e\phi}{KT_e}\right] = 1 + \frac{e\phi}{KT_e} + \frac{1}{2} \left(\frac{e\phi}{KT_e}\right)^2 + \dots \quad (2.25)$$

ประมาณได้ว่าหลังพจน์ที่สองมีค่าน้อยมากซึ่งไม่ค่อยนำมาคิด สมการที่ (2.24) เขียนได้เป็น

$$\frac{1}{\phi} \frac{d^2 \phi}{dx^2} = \frac{n_0 e^2}{\epsilon_0 K T_e} \quad (2.26)$$

หรือเขียน

$$\frac{1}{\phi} \frac{d^2 \phi}{dx^2} = \frac{1}{\lambda_D^2} \quad (2.27)$$

โดยที่  $\lambda_D$  คือความยาวของเดอบาย

$$\lambda_D = \sqrt{\frac{\epsilon_0 K T_e}{n_0 e^2}} \quad (2.28)$$

จากหัวข้อที่ 2.1 จำนวนอนุภาค  $N_D$  ภายในทรงกลมรัศมี  $\lambda_D$  ที่มีจำนวนความหนาแน่นเท่ากับ  $n_0$  หาได้ดังนี้

$$N_D = n_0 \left( \frac{4}{3} \pi \lambda_D^3 \right) \quad (2.29)$$

แทนค่าจากสมการที่ (2.28) จะได้

$$N_D = n_0 \left( \frac{4}{3} \pi \left[ \frac{\epsilon_0 K T_e}{n_0 e^2} \right]^{3/2} \right)$$

หรือ

$$N_D = 1.38 \times 10^6 \frac{T_e^{3/2}}{n_0^{1/2}} \quad (2.30)$$

พิจารณาจากรูปที่ 2.1 ถ้าขนาดของความกว้างของซีทหรือความยาวของเคอร์บายที่ขอบมีขนาดเล็กมากเมื่อเทียบกับความกว้างของพลาสมา  $\lambda_D \ll L$  สมการของพัวว์ซองที่  $n_e \neq n_i$  ที่ขอบซีทจะสามารถประมาณค่าศักย์ไฟฟ้าที่มีการเปลี่ยนแปลงที่ขอบได้เป็น

$$\nabla^2 \phi \sim \frac{\phi}{L^2} \quad (2.30)$$

จากสมการที่ (2.23)

$$\frac{\phi}{L^2} \approx \left| \frac{e}{\epsilon_0} (n_i - n_e) \right| \quad (2.31)$$

จากการพิจารณาที่ค่า  $|e\phi/KT_e| \ll 1$  เราจะพบว่าค่าของ

$$\frac{\phi}{L^2} \ll \frac{KT_e}{eL^2} \quad (2.32)$$

หรือจากสมการที่ (2.28)

$$\frac{\phi}{L^2} \ll \frac{K}{eL^2} \left( \frac{e^2 Kn_0}{\epsilon_0} \lambda_D^2 \right) \quad (2.33)$$

จากสมการที่ (2.31) ในบริเวณที่เป็นส่วนที่เรียกว่าซีท จะเขียนได้

$$\left| \frac{e}{\epsilon_0} (n_i - n_e) \right| \ll \frac{K}{eL^2} \left( \frac{e^2 Kn_e}{\epsilon_0} \lambda_D^2 \right) \quad (2.34)$$

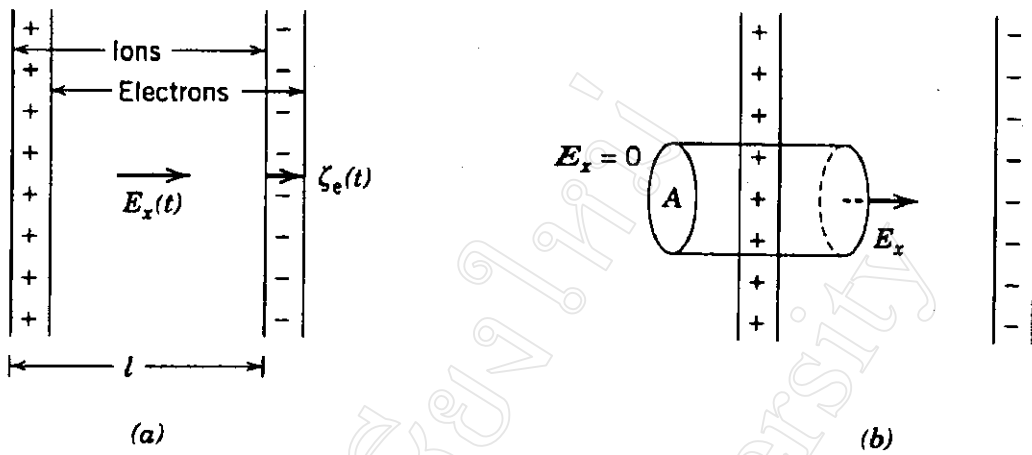
หรือเขียนได้เป็น

$$\frac{|n_i - n_e|}{n_e} \ll \frac{\lambda_D^2}{L^2} \quad (2.35)$$

เมื่อ  $\lambda_D \ll L$  สมการที่ (2.35) จะมีค่าน้อยกว่าหนึ่ง ซึ่งเขียนใหม่ได้เป็น

$$|n_i - n_e| \ll n_e \quad (2.36)$$

จากสมการที่ (2.36) ความหนาแน่นของอิเล็กตรอนจะมีค่ามากประมาณเท่ากับค่าความหนาแน่นของประจุ  $n_i \cong n_e$  เราจึงเขียนได้  $n_i = n_e = n_0$  ซึ่งเป็นที่มาของการเรียกพลาสมาว่าเชิงสะเทิน และเมื่อพิจารณาสมการที่ (2.29) ร่วมกับข้อแม้ที่ว่า  $\lambda_D \ll L$  ซึ่งบ่งบอกถึงพลาสมามีพฤติกรรมแบบรวมสมการที่ (2.30) จะให้ค่า  $N_D \gg 1$



รูปที่ 2.2 แสดงการขอบเขตของการเคลื่อนที่หรือสั้นของพลาสมา (a) แสดงให้เห็นการพุ่งกระจายของกลุ่มอิเล็กตรอนและกลุ่มไอออนในพลาสมา (b) วิธีคำนวณหาค่าสนามไฟฟ้า [Lieberman and Lichtenberg, 1994]

พิจารณาจากรูปที่ 2.2 นอกเหนือจากส่วนที่เป็นพลาสมาแล้วในส่วนขอบเขตทางด้านซ้ายมือหรือแคโทดชีท (cathode sheath) ที่  $T_e=0$  นั้นจะเกิดความสมดุลระหว่าง  $n_i \cong n_e$  ดังนั้นค่าของสนามไฟฟ้า  $\vec{E} \cong 0$  และเมื่อเราพิจารณาในส่วนทางด้านขวามือหรือที่แอนโนดชีท (anode sheath) เมื่อให้  $\zeta_e(t)$  คือระยะขจัดของอิเล็กตรอนขึ้นอยู่กับฟังก์ชันของเวลา  $t$  และ  $|\zeta_e(t)| \ll L$  หาค่าสนามไฟฟ้าจากกฎของเกาส์

$$\epsilon_0 \oint_S \vec{E} \cdot d\vec{A} = Q \quad (2.37)$$

จากผลรวมของประจุทั้งหมด  $Q$

$$Q = \oint_S \rho_s dA \quad (2.38)$$

ค่าของสนามไฟฟ้าในแนวแกน  $x$  สามารถหาได้จากสมการที่ (2.37) และ (2.38) ได้เป็น

$$\vec{E}_x = \frac{\rho_s \hat{i}}{\epsilon_0} \quad (2.39)$$

เมื่อ

$$\rho_s = en_0 \zeta_e \quad (2.40)$$



ค่า  $\vec{\xi}_e(t)$  มีขนาดเล็กมากเมื่อเทียบกับขนาดของความกว้างของพลาสมา ดังนั้นความเร็ว  $\vec{u}_e = d\vec{\xi}_e/dt$  และ  $\vec{u}_e \cdot \nabla u_e$  ก็จะมีค่าน้อยมาก ๆ จากสมการของผลรวมของแรงในสมการที่ (2.7) สามารถจะประมาณได้ว่า

$$\begin{aligned} \text{จาก} \quad m_e n_e \frac{d}{dt} \left( \frac{d\vec{\xi}_e}{dt} \right) &= -en_e (\vec{E}_x + \vec{v}_e \times \vec{B}) - \nabla p - m_e n_e v_{m_e} \vec{u}_e \\ &= -en_e \vec{E}_x \end{aligned} \quad (2.41)$$

แทนค่า  $\rho_s$  จากสมการที่ (2.40) ลงในสมการที่ (2.41)

$$\frac{d^2 \vec{\xi}_e}{dt^2} = -\frac{e^2 n_0}{\epsilon_0 m_e} \vec{\xi}_e \quad (2.42)$$

ให้  $\omega_{pe}$  เป็นความถี่ของพลาสมาอิเล็กตรอนมวล  $m_e$  นิยามได้จาก

$$\omega_{pe} = \sqrt{\frac{e^2 n_0}{\epsilon_0 m_e}} \quad (2.43)$$

สมการที่ (2.42) เขียนได้ใหม่ดังนี้

$$\frac{d^2 \vec{\xi}_e}{dt^2} = -\omega_{pe}^2 \vec{\xi}_e \quad (2.44)$$

โดยการแก้สมการที่ (2.44) จะได้

$$\vec{\xi}_e(t) = \vec{\xi}_{e0} \cos(\omega_{pe} t + \phi_0) \quad (2.45)$$

เช่นเดียวกันเราสามารถหาค่าความถี่ของพลาสมาไอออน  $\omega_{pi}$  มวล  $M$  ได้จาก

$$\omega_{pi} = \sqrt{\frac{e^2 n_0}{\epsilon_0 M}} \quad (2.46)$$

ดังนั้นค่าความถี่เฉลี่ยของพลาสมา  $\omega_p$  จึงหาได้จาก

$$\omega_p = \sqrt{\omega_{pe}^2 + \omega_{pi}^2} \quad (2.47)$$

หรือประมาณได้ว่า

$$\omega_p \equiv \omega_{pe} \quad \text{เมื่อ } M \gg m_e \quad (2.48)$$

สมการที่ (2.46) ใช้หาความถี่ของการชนกันของพลาสมา กับไอออน  $f_{pi}$  และเวลาเฉลี่ยระหว่างการชนกันของอะตอมหรืออนุภาคอิสระ

$$f_{pi} = \omega_{pi}/2\pi \quad (2.49)$$

$$\tau = 2\pi/\omega_{pi} \quad (2.50)$$

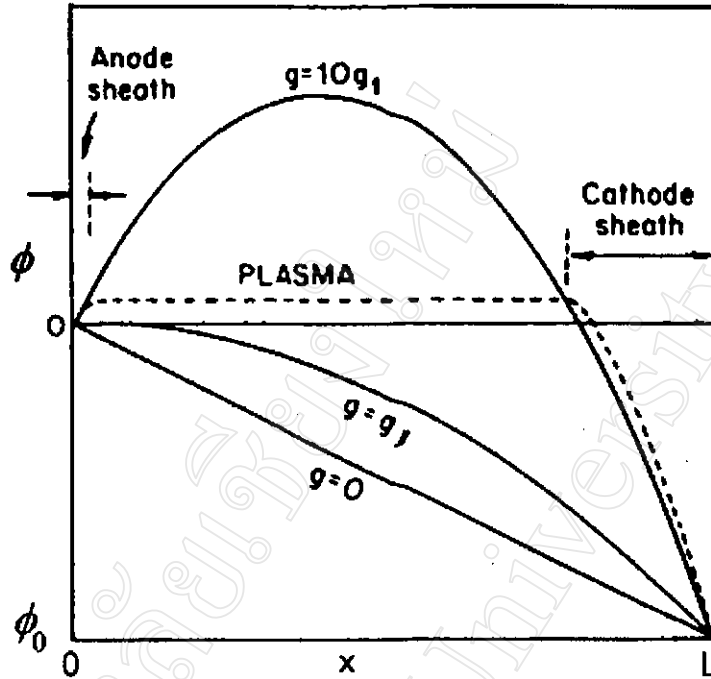
เมื่อพิจารณาจากนิยามของการที่จะเป็นพลาสมาในหัวข้อที่ 2.1 จำนวนครั้งของการชนอิสระระหว่างอนุภาคกับอนุภาคในหนึ่งหน่วยเวลาในพลาสมา หาได้จากสมการที่ (2.3, 2.43, 2.46, 2.48 และ 2.50) ดังนี้

$$\omega_p \tau = \frac{2\pi\omega_{pe}}{\omega_{pi}} \quad (2.51)$$

นั่นคือ  $\omega_p \tau \gg 1$  เมื่อ  $\omega_{pe} \gg \omega_{pi}$

### 2.3 การเกิดพลาสมา

Langmuir (1929) ได้ศึกษาการเกิดพลาสมาโดยพิจารณาการเปลี่ยนแปลงของสนามไฟฟ้าในหนึ่งมิติโดยที่ตำแหน่ง  $x=0$  ค่าศักย์ไฟฟ้า  $\phi=0$  และที่ตำแหน่งแสดงระยะห่างระหว่างแคโทดกับแอโนด ( $x=L$ ) ค่าศักย์ไฟฟ้า  $\phi=\phi_0$  ถ้านิยามให้  $g$  เป็นอัตราส่วนของการแตกตัวของอะตอมหรือโมเลกุลเป็นไอออนต่อหนึ่งหน่วยเวลา (ionization rate) เมื่อ  $g=0$  ( $g_0$ ) จะมีการกระจายของศักย์ไฟฟ้า  $\phi(x)$  เป็นแบบเส้นตรงและที่ตำแหน่ง  $x=0$  ค่าของการเปลี่ยนแปลง  $d\phi/dx=0$  ขบวนการที่จะเกิดการฟอร์มพลาสมาได้นั้นจะขึ้นอยู่กับจำนวนเท่าของอัตราส่วนของการเกิดไอออนที่  $g \neq 0$  ในที่นี้ขอใช้  $g_1$  นั่นคือพลาสมาจะสามารถฟอร์มเกิดขึ้นได้ค่าผลรวมของศักย์ไฟฟ้าที่เกิดจากการแตกตัวจะต้องมีค่ามากพอดังแสดงในรูปที่ 2.3 ซึ่งแสดงให้เห็นถึงศักย์ไฟฟ้าที่เพิ่มขึ้นเป็นผลเนื่องจากการเพิ่มของจำนวน  $g$  โดยค่าศักย์ไฟฟ้ามากที่สุดที่  $g=10g_1$  โดยถือว่าผลของศักย์ไฟฟ้าเนื่องจากอิเล็กตรอนหลังการแตกตัวมีผลน้อยมาก [Forrester, 1988]



รูปที่ 2.3 แสดงการกระจายของศักย์ไฟฟ้า  $\phi$  ระหว่างแผ่นอิเล็กโทรดคู่ขนานที่มีระยะห่าง  $L$  จากการแตกตัวของก๊าซอย่างสมันเสมอ [Forrester, 1988]

Harrison และ Thompson (1959) และ Forrester (1988) ได้พิจารณาหาค่า  $g_1$  ณ ตำแหน่ง  $x_1$  และมีศักย์ไฟฟ้า  $\phi_1$  จากสมการของพัวร์ของ สมการที่ (2.20) เขียนได้เป็น

$$\frac{d^2 \phi}{dx_1^2} = -\frac{\rho_1}{\epsilon_0} \quad (2.52)$$

เราสามารถหาค่าความหนาแน่นของไอออน  $\rho_1$  ที่ตำแหน่ง  $x_1$  จาก

$$\rho_1 = -J_1 v_1 \quad (2.53)$$

เมื่อ  $J_1$  คือความหนาแน่นของกระแสต่อหน่วยพื้นที่ ที่ตำแหน่ง  $x_1$   
 $v_1$  คือความเร็วของไอออนมวล  $M$  ที่มีศักย์ไฟฟ้าระหว่าง  $\phi_1$  และ  $\phi$  ซึ่งจะหาได้จาก

$$v_1 = \sqrt{\frac{2e(\phi_1 - \phi)}{M}} \quad (2.54)$$

ให้  $g_1 dx_1$  คืออัตราส่วนของจำนวนไอออนต่อหนึ่งหน่วยเวลาซึ่งจะหาได้จาก

$$g_1 dx_1 = \frac{dJ}{e} \quad (2.55)$$

ค่าแรงไฟฟ้าระหว่างแผ่นอิเล็กโทรด ณ ตำแหน่ง  $x$  ต่อหน่วยพื้นที่ ( $\epsilon_0 \phi'^2/2$ ) จะเท่ากับค่าของโมเมนตัมของประจุที่เคลื่อนที่ระหว่างแผ่นคู่ขนานอิเล็กโทรด ( $Mv_1 dJ/e$ ) หรือ

$$\frac{\epsilon_0 \phi'^2}{2} = \frac{Mv_1 dJ}{e} \quad (2.56)$$

จากสมการที่ (2.54) และ (2.55) แทนลงในสมการที่ (2.56) แล้วอินทิเกรตรอบ  $x$  ทั้งหมดก็จะได้

$$\frac{\epsilon_0 \phi'^2}{2} = g_1 \sqrt{2eM} \int_0^x \sqrt{\phi_1 - \phi} dx_1 \quad (2.57)$$

จากรูปที่ 2.3 จะเห็นว่าเส้นกราฟที่  $g = g_1$  มีการเปลี่ยนแปลงเป็นไปตามสมการ

$$\phi = -\phi_0 \frac{x^2}{L^2} \quad (2.58)$$

และ

$$\frac{d\phi}{dx} = -2\phi_0 \frac{x}{L^2} \quad (2.59)$$

$$\frac{d^2\phi}{dx^2} = -2\frac{\phi_0}{L^2} \quad (2.60)$$

เช่นเดียวกันค่าศักย์ไฟฟ้าที่ตำแหน่ง  $x_1$

$$\phi_1 = -\phi_0 \frac{x_1^2}{L^2} \quad (2.61)$$

จากสมการที่ (2.58, 2.60) และ (2.61) เขียนสมการที่ (2.56) ได้เป็น

$$\left(-2\phi_0 \frac{x}{L^2}\right)^2 = \frac{2g_1 \sqrt{2eM}\phi_0}{\epsilon_0 L} \int_0^x \sqrt{x-x_1} dx_1 \quad (2.62)$$

เราสามารถอินทิเกรตสมการที่ (2.62) ได้โดยเปลี่ยนตัวแปร

$$x_1 = x \sin \theta \quad (2.63)$$

ที่ขอบล่างของค่า  $x_1 = 0$  ค่า  $\theta = 0$  และที่ขอบบนของค่า  $x_1 = x$  ค่า  $\theta = \pi/2$  และผลของ

$$dx_1 = x \cos \theta d\theta \quad (2.64)$$

จากสมการที่ (2.63) และ (2.64) จะได้

$$\begin{aligned} \int_0^x \sqrt{x-x_1} dx_1 &= \int_0^{\pi/2} \sqrt{x^2(1-\sin^2 \theta)} x \cos \theta d\theta \\ &= x^2 \int_0^{\pi/2} \cos^2 \theta d\theta \end{aligned} \quad (2.65)$$

ค่าของการอินทิเกรตในสมการที่ (2.65) จะได้

$$\int_0^x \sqrt{x-x_1} dx_1 = \frac{x^2 \pi}{4} \quad (2.66)$$

แทนค่าที่ได้จากสมการที่ (2.66) ลงในสมการที่ (2.62) ได้

$$\left(-2\phi_0 \frac{x}{L^2}\right)^2 = \frac{2g_1 \sqrt{2eM\phi_0}}{\epsilon_0 L} \left(\frac{x^2 \pi}{4}\right) \quad (2.67)$$

หรือ

$$g_1 = \frac{4\epsilon_0 \sqrt{2\phi_0^3/eM}}{\pi L^3} \quad (2.68)$$

จากความสัมพันธ์ระหว่างค่า  $g_1$  กับค่าความหนาแน่นกระแส  $J$  ในสมการที่ (2.55) เราสามารถหาค่าความหนาแน่นของกระแสทั้งหมดที่มีทิศทางการไหลไปทางแผ่นของอิเล็กโทรดที่มีศักย์ไฟฟ้าเป็นลบ ณ ตำแหน่งที่  $x_1$  ได้คือ

$$J_1 = g_1 e L \quad (2.69)$$

จากสมการที่ (2.68) จะได้ค่า  $J_1$  ในสมการที่ (2.69) เป็น

$$J_1 = \left(\frac{9}{\pi}\right) \left(\frac{4\epsilon_0 \sqrt{2e\phi_0^3/M}}{9 L^2}\right) \quad (2.70)$$

หรือเขียนได้ใหม่ดังนี้

$$J_1 = \left(\frac{9}{\pi}\right) J_0 \quad (2.71)$$

เมื่อ

$$J_0 = \frac{4\varepsilon_0}{9} \sqrt{\frac{2e}{M}} \frac{\phi_0^{3/2}}{L^2} \quad (2.72)$$

ค่าความหนาแน่นของประจุจากสมการที่ (2.20) และจากสมการที่ (2.60) จะมีค่า

$$\rho = \frac{2\varepsilon_0\phi_0}{L^2} \quad (2.73)$$

จากสมการที่ (2.73) จะเห็นได้ว่าความหนาแน่นของประจุไม่ได้ขึ้นอยู่กับตำแหน่งใด ๆ และเมื่อพิจารณาจากรูปที่ 2.3 ที่อัตราการแตกตัวของก๊าซมีค่า  $g = 10g_1$  กราฟจะเป็นรูปพาราโบลาคว่ำจะมีค่าศักย์ไฟฟ้าที่สูงที่สุด จากความสัมพันธ์ดังสมการที่ (2.58) ค่าศักย์ไฟฟ้าจะมีค่าสูงสุดเมื่อ

$$\phi = -\phi_0 \frac{x}{L} \left[ 1 - \left( \frac{g}{g_1} \right)^{2/3} \left( 1 - \frac{x}{L} \right) \right] \quad (2.74)$$

เมื่อเราย้อนกลับไปพิจารณาอัตราการแตกตัว  $g_1$  ณ ตำแหน่ง  $x_1$  โดยที่  $x_1 \leq x$  เราจะพบว่าจำนวนของไอออนที่ตำแหน่ง  $x$  ใด ๆ ที่มีค่าความเร็วระหว่าง  $v_x$  ถึง  $v_x + dv$  จะสามารถเขียนในรูปของค่าฟังก์ชัน  $f(v_x)dv$  [Harrison and Thompson, 1959] ได้เป็น

$$f(v_x)dv = \frac{g(x_1)}{v_x} dx_1 \quad (2.75)$$

เมื่อ  $g(x_1)dx_1$  เป็นจำนวนของประจุที่พบต่อหนึ่งหน่วยเวลาในช่วงระหว่าง  $x_1$  ถึง  $x_1 + dx_1$  ที่ตำแหน่งใด ๆ ที่  $x_1 \leq x$  ความเร็ว  $v_x$  คือความเร็วของไอออนมวล  $M$  ที่มีศักย์ไฟฟ้าระหว่าง  $\phi(x_1)$  และ  $\phi(x)$  หาได้จาก

$$v_x = \sqrt{\frac{2e(\phi(x_1) - \phi(x))}{M}} \quad (2.76)$$

แทนค่าสมการที่ (2.76) ลงในสมการที่ (2.75) ได้เป็น

$$f(v_x)dv = \sqrt{\frac{M}{2e}} \frac{g(x_1)}{\sqrt{\phi(x_1) - \phi(x)}} dx_1 \quad (2.77)$$

หรือเขียนได้ใหม่เป็น

$$f(v_x)dv = \sqrt{\frac{M}{2KT_e}} \frac{g(x_1)}{\sqrt{\eta - \eta_1}} dx_1 \quad (2.78)$$

เมื่อ

$$\eta = -\frac{e\phi(x)}{KT_e} \quad (2.79)$$

และ

$$\eta_1 = -\frac{e\phi(x_1)}{KT_e} \quad (2.80)$$

ค่าความหนาแน่นของประจุที่ตำแหน่ง  $x$  ใด ๆ ก็สามารหหาได้จากอินทิเกรตทั้งหมดบนสมการที่ (2.78) ได้เป็น

$$n_1(x) = \sqrt{\frac{M}{2KT_e}} \int_0^x \frac{g(x_1)}{\sqrt{\eta - \eta_1}} dx_1 \quad (2.81)$$

เมื่อเราพิจารณาค่า  $n_e$  จากสมการที่ (2.18) และ (2.79) สมการของพั่วร์ช่องในหนึ่งมิติตามแนวแกน  $x$  ในสมการที่ (2.23) จะเขียนได้ใหม่เป็น

$$-\frac{KT_e}{e} \frac{d^2 \eta}{dx^2} = -\frac{e}{\epsilon_0} \left( \sqrt{\frac{M}{2KT_e}} \int_0^x \frac{g(x_1)}{\sqrt{\eta - \eta_1}} dx_1 - n_0 e^{-\eta} \right) \quad (2.82)$$

จากสมการที่ (2.79) เขียนสมการของค่าศักย์ไฟฟ้าได้ใหม่เป็น

$$\phi = -\frac{\eta KT_e}{e} \quad (2.83)$$

และ

$$\begin{aligned} \frac{d^2 \phi}{dx^2} &= \frac{d^2}{dx^2} \left( -\frac{\eta KT_e}{e} \right) \\ &= -\frac{KT_e}{e} \frac{d^2 \eta}{dx^2} \end{aligned} \quad (2.84)$$

สมการที่ (2.82) จัดรูปใหม่ได้เป็น

$$\left( \frac{\epsilon_0 KT_e}{n_0 e^2} \right) \frac{d^2 \eta}{dx^2} = \frac{1}{n_0} \sqrt{\frac{M}{2KT_e}} \int_0^x \frac{g(x_1)}{\sqrt{\eta - \eta_1}} dx_1 - e^{-\eta} \quad (2.85)$$

แทนค่าจากสมการที่ (2.28)

$$\lambda_D^2 \frac{d^2 \eta}{dx^2} = \frac{1}{n_0} \sqrt{\frac{M}{2KT_e}} \int_0^x \frac{g(x_1)}{\sqrt{\eta - \eta_1}} dx_1 - e^{-\eta} \quad (2.86)$$

เราจัดระบบจุดอ้างอิงใหม่โดยให้

$$\xi = x/L \quad (2.87)$$

และ

$$\xi_1 = x_1/L \quad (2.88)$$

โดยที่  $L$  คือค่าความยาวของระบบ (characteristic length) สมการที่ (2.86) เขียนได้ใหม่ในเทอมที่อ้างอิงกับ  $\xi$  และ  $\xi_1$  ดังนี้

$$\left(\frac{\lambda_D}{L}\right)^2 \frac{d^2 \eta}{d\xi^2} = \frac{L}{n_0} \sqrt{\frac{M}{2KT_e}} \int_0^\xi \frac{g(\xi_1)}{\sqrt{\eta - \eta_1}} d\xi_1 - e^{-\eta} \quad (2.89)$$

เมื่อพิจารณาถึงเงื่อนไขในการฟอร์มพลาสมาในตอนที่ 2.1 และ 2.2 เราสามารถประมาณได้ว่า  $\lambda_D/L$  มีค่าน้อยมากนั่นคือ  $\lambda_D/L \cong 0$  สมการที่ (2.89) เขียนได้ใหม่เป็น

$$\frac{n_0 e^{-\eta}}{L} = \sqrt{\frac{M}{2KT_e}} \int_0^\xi \frac{g(\xi_1)}{\sqrt{\eta - \eta_1}} d\xi_1 \quad (2.90)$$

กำหนดให้  $\eta = x^2$  และ  $\eta_1 = x^2 \sin^2 \theta$  สมการที่ (2.90) เขียนได้ในรูปใหม่ดังนี้

$$\frac{n_0 e^{-\eta}}{L} = \sqrt{\frac{M}{2KT_e}} \int_0^{\pi/2} g(x^2 \sin^2 \theta) \left[ \frac{d\xi_1}{d(x^2 \sin^2 \theta)} \right] d\theta \quad (2.91)$$

เราจัดสมการที่ (2.91) ให้อยู่ในรูป

$$\frac{n_0 e^{-\eta}}{L} = \frac{2}{\pi} \int_0^{\pi/2} h(\eta \sin \theta) d\theta \quad (2.92)$$

เมื่อ

$$h(\eta) = \pi \sqrt{\frac{M}{2KT_e}} g(\eta) \sqrt{\eta} \frac{d\xi_1}{d\eta} \quad (2.93)$$



สมการที่ (2.92) สามารถหาคำคำตอบได้โดยอาศัย *Schömilch's transformation* [Whittaker and Watson, 1950] นั่นคือถ้าเราสามารถเขียนสมการได้ในรูป

$$f(\eta) = \frac{2}{\pi} \int_0^{\pi/2} h(\eta \sin \theta) d\theta \quad (2.94)$$

ฟังก์ชัน  $h(\eta)$  จะหาได้จาก

$$h(\eta) = f(0) + \int_0^{\pi/2} f'(\eta \sin \theta) d\theta \quad (2.95)$$

โดยการเทียบสมการที่ (2.94) กับสมการที่ (2.92) จะได้

$$f(\eta) = \frac{n_0 e^{-\eta}}{L} \quad (2.96)$$

$$\frac{df(\eta)}{d\eta} = -\frac{n_0 e^{-\eta}}{L} \quad (2.97)$$

และ

$$f'(\eta \sin \theta) = -\frac{n_0}{L} \exp(-\eta \sin \theta) \quad (2.98)$$

แทนสมการที่ (2.96) และ (2.98) ลงในสมการ (2.95) จะได้

$$h(\eta) = \frac{n_0}{L} \left[ 1 - \int_0^{\pi/2} \exp(-\eta \sin \theta) d\theta \right] \quad (2.99)$$

สมการที่ (2.99) สามารถจัดรูปสมการในส่วนของกรอินทิเกรตใหม่ได้เมื่อกำหนดให้

$$t^2 = \eta \sin \theta \quad (2.100)$$

ที่ขอบล่างของค่า  $\theta = 0$  ค่า  $t = 0$  และที่ขอบบนของค่า  $\theta = \pi/2$  ค่า  $t = \sqrt{\eta}$  และจะสามารถเปลี่ยนรูปค่า

$$\int_0^{\pi/2} \exp(-\eta \sin \theta) d\theta = 2\sqrt{\eta} e^{-\eta} \int_0^{\sqrt{\eta}} \exp(t^2) dt \quad (2.101)$$

จากสมการที่ (2.101) สามารถเขียนสมการที่ (2.99) ใหม่ได้เป็น

$$h(\eta) = \frac{n_0}{L} \left[ 1 - 2\sqrt{\eta} e^{-\eta} \int_0^{\sqrt{\eta}} \exp(t^2) dt \right] \quad (2.102)$$

หรือ

$$h(\eta) = \frac{n_0}{L} \left[ 1 - 2\sqrt{\eta} e^{-\eta} D(\sqrt{\eta}) \right] \quad (2.103)$$

เมื่อ  $D(x)$  เป็นรูปของฟังก์ชันดอร์ตัน (Dawson's function) [Terrill and Sweeny, 1944 ; Jahnke and Emde, 1945] โดยที่

$$D(x) = \int_0^x \exp(t^2) dt \quad (2.104)$$

แทนค่าสมการของ  $h(\eta)$  จากสมการที่ (2.103) ลงไปในสมการที่ (2.93)

$$\pi \sqrt{\frac{M}{2KT_e}} g(\eta) \sqrt{\eta} \frac{d\xi_1}{d\eta} = \frac{n_0}{L} \left[ 1 - 2\sqrt{\eta} e^{-\eta} D(\sqrt{\eta}) \right] \quad (2.105)$$

เมื่อพิจารณาค่าของสนามไฟฟ้าที่ระยะอนันต์ที่มีขนาดใหญ่กว่าจะพบว่าค่าของ  $d\xi_1/d\eta = 0$  ดังนั้นเราจะได้ค่าของ  $\lim_{\eta \rightarrow \eta_0}$  [Harrison and Thompson, 1959] สมการที่ (2.105) จึงเขียนได้ใหม่ในรูปของ

$$0 = 1 - 2\sqrt{\eta_0} e^{-\eta_0} D(\sqrt{\eta_0}) \quad (2.106)$$

Miller และ Gordon (1931) และ Lohmander และ Rittsten (1958) ได้คำนวณหาค่าของ  $D(x) \exp(-x^2)$  ได้ค่ามากที่สุดเมื่อ  $x_0 = 0.9241$  และจากความสัมพันธ์ของ  $\eta_0 = x_0^2$  จะให้ค่า  $\eta_0 = 0.8539$  [Harrison and Thompson, 1959 ; Self, 1963 ; Forester, 1988] เพื่อให้ง่ายต่อการคำนวณสมการที่ (2.105) เราจะกำหนดค่าของ  $g(\eta)$  ในรูปของ

$$g(\eta) = \lambda n_0 e^{-\gamma \eta} \quad (2.107)$$

$\lambda$  เป็นค่าคงที่และ  $\gamma$  คือค่าจำนวนเต็มที่จะบ่งบอกถึงคุณลักษณะของการแตกตัวของก๊าซ  $\gamma = 0$  แสดงถึงการแตกตัวที่สม่ำเสมอ (uniform ionization)  $\gamma = 1$  แสดงถึงการแตกตัวที่มีค่าขึ้นกับความหนาแน่นของอิเล็กตรอน  $g \propto n_e$  และ  $\gamma = 2$  แสดงถึงการแตกตัวที่ขึ้นกับความหนาแน่นของอิเล็กตรอนกำลังสอง  $g \propto n_e^2$  [Harrison and Thompson, 1959 ; Forrester, 1988] เราจัดเปลี่ยนรูปตัวแปรจากสมการที่ (2.87) โดยให้

$$L = \frac{1}{\lambda} \sqrt{\frac{2KT_e}{M}} \quad (2.108)$$

และ

$$\xi = \lambda \xi_1 \sqrt{\frac{M}{2KT_e}} \quad (2.109)$$

แทนสมการที่ (2.107) และ (2.109) ลงในสมการที่ (2.105) จะได้

$$\pi \left( \frac{\xi}{\lambda \xi_1} \right) (\lambda n_0 e^{-\gamma}) \sqrt{\eta} \frac{d\xi_1}{d\eta} = n_0 [1 - 2\sqrt{\eta} e^{-\eta} D(\sqrt{\eta})] \quad (2.110)$$

หรือ

$$\frac{\xi}{\xi_1} d\xi_1 = \frac{e^{\gamma}}{\pi \sqrt{\eta}} [1 - 2\sqrt{\eta} e^{-\eta} D(\sqrt{\eta})] d\eta \quad (2.111)$$

สำหรับ  $\gamma > 0$  ทุกค่าสมการที่ (2.111) สามารถใช้หาผลเฉลยได้ดังนี้

$$\xi = \frac{2}{\pi(\gamma-1)} [\sqrt{\gamma} D(\sqrt{\gamma\eta}) - e^{-\eta(\gamma-1)} D(\sqrt{\eta})] \quad (2.112)$$

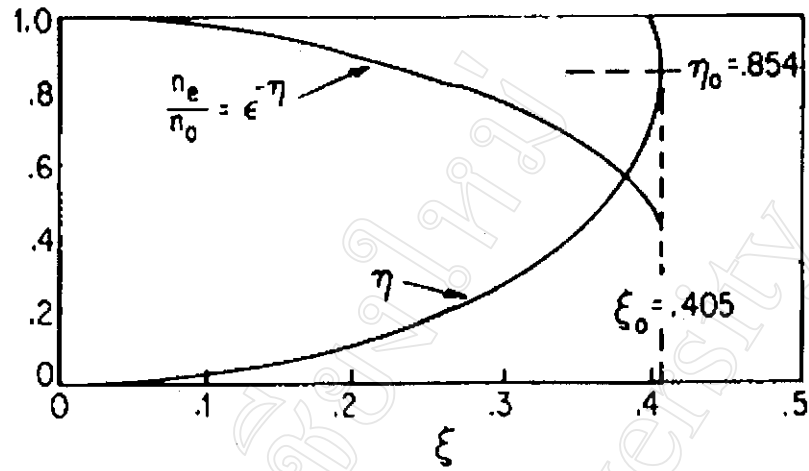
Harrison และ Thompson (1959) และ Self (1963) ได้คำนวณหาค่าของ  $\xi$  ในกรณีที่  $\gamma$  มีค่า 1, 2 และ 3 เมื่อพิจารณาที่ค่า  $\eta = \eta_0 = 0.8539$  ค่า  $\xi_0$  จากสมการที่ (2.112) หาได้ค่าดังนี้

$$\gamma = 0 \quad \xi = \frac{2}{\pi} e^{-\eta} D(\sqrt{\eta}), \quad \xi_0 = 0.3444 \quad (2.113)$$

$$\gamma = 1 \quad \xi = \frac{2}{\pi} \left[ D(\sqrt{\eta}) - \int_0^{\eta} D(\sqrt{s}) ds \right], \quad \xi_0 = 0.4046 \quad (2.114)$$

$$\gamma = 2 \quad \xi = \frac{2}{\pi} [\sqrt{2} D(\sqrt{2\eta}) - e^{\eta} D(\sqrt{\eta})], \quad \xi_0 = 0.4920 \quad (2.115)$$

รูปที่ 2.4 แสดงให้เห็นเส้นกราฟแสดงผลการคำนวณของ  $\eta$  และค่าสูงสุดของ  $\eta_0$  จากสมการที่ (2.105) และฟังก์ชัน  $n_e/n_0 = \exp(-\eta)$  ที่ค่า  $\gamma = 1$



รูปที่ 2.4 กราฟแสดงผลการคำนวณทางคณิตศาสตร์หาค่า  $\eta$  จากสมการที่ (2.105) [Forrester, 1988]

จากสมการที่ (2.69) ที่ผนังของพลาสมาที่มีความกว้าง  $a$  (plasma width) ความหนาแน่นของกระแสไอออน  $J_i$  มีค่า

$$J_i = g e a \quad (2.116)$$

และจากสมการที่ (2.87)

$$a = L \xi_0 \quad (2.117)$$

แทนค่า  $g$  จากสมการที่ (2.107) ค่า  $L$  จากสมการที่ (2.108) และค่า  $a$  จากสมการที่ (2.117) จะสามารถหาความสัมพันธ์ของความเข้มของกระแสได้ดังนี้

$$\begin{aligned} J_i &= e \xi_0(\gamma) (\lambda n_0 e^{-\eta}) \left( \frac{1}{\lambda} \sqrt{\frac{2KT_e}{M}} \right) \\ &= e \xi_0(\gamma) n_0 e^{-\eta} \sqrt{\frac{2KT_e}{M}} \end{aligned} \quad (2.118)$$

$\xi_0$  มีค่าขึ้นอยู่กับค่า  $\gamma$  ตามสมการที่ (2.113-115) จากสมการที่ (2.118) ถ้า  $\gamma = 0$  ซึ่งหมายถึงการแตกตัวของก๊าซที่สม่ำเสมอ  $g = \lambda n_0$  จะได้

$$J_i = 0.344 n_0 e \sqrt{\frac{2KT_e}{M}} \quad (2.119)$$

หรือ

$$J_i = 0.486n_0e\sqrt{\frac{KT_e}{M}} \quad (2.120)$$

และที่  $\gamma = 1$

$$J_i = 0.573n_0e\sqrt{\frac{KT_e}{M}} \quad (2.121)$$

และที่  $\gamma = 2$

$$J_i = 0.696n_0e\sqrt{\frac{KT_e}{M}} \quad (2.122)$$

#### 2.4 ค่าคงที่ อัลฟาแฟกเตอร์ ของก๊าซ

Leung (1994) ได้นิยามค่าคงที่หรือ “อัลฟาแฟกเตอร์ ( $\alpha$ )” จากความสัมพันธ์ระหว่าง กระแสไอออนหรือค่าความหนาแน่นของกระแสไอออน  $J_i$  กับความเข้มข้นสูงสุดของพลาสมา  $n$  กับค่า ion sound speed ( $\sqrt{KT_e/M}$ ) เมื่อไอออนเคลื่อนที่เข้าไปในส่วนที่เป็นจีทในพลาสมา อิเล็กโตรดดังนี้

$$J_i = \alpha ne\sqrt{\frac{KT_e}{M}} \quad (2.123)$$

การทดลองหาค่าอัลฟาแฟกเตอร์ตามนิยามของ Leung จะได้กล่าวถึงในบทที่ 4